

Hochdruckversuche
Lu 558.

13. März 1942. Rts.,/Ec.

9

Zurück an
Vorzimmer Dir. Dr. Pier

Katalytische Krackversuche im 40 ltr.-Ofen
mit Kontakt 6108 und 6752

Zusammenfassung

In einem DHD-Ofen, der aus 4 Rinneläufen von je 10 ltr. Inhalt bestand, wurde eine Reihe von Krackversuchen mit 20 - und 60 Minutenzyklen und Durchsätzen von 0,5 und 1 kg/ltr. Kontakt und Stunde durchgeführt, und zwar mit K 6108 (Terrana) und K 6752 (Synthet. Al-Silikat) unter Verwendung eines Vorhydrierungsmittelöles aus Steinkohleverflüssigung und zweier Erdölmittelöle. Für die jeweiligen Bedingungen optimaler Spaltung sind in der folgenden Tabelle einige charakteristische (z.T. abgerundete) Daten zusammenge stellt.

Die Anfallprodukte wurden in Benzinz. -150°, Schwerbenzin vom 150 - 180° und Rückstand > 180° zerlegt und die Eigenschaften dieser Fraktionen in Abhängigkeit vom Kontakt, Ausgangsöl und Fahrbedingungen tabellarisch und graphisch wiedergegeben sowie diskutiert. Die genaue Vergesungszusammensetzung und ihre Änderung im Verlauf eines 20 Minuten-Zyklus wurden ermittelt.

514

Kontakt		6108 (Terrana)		6752 (Synth. Al-Silikat)	
Ausgangsöl	Bezeichnung	Vorhydr. Mittelöl aus Bruchsaler Öl (P 1494-Mittelöl)	Mittelöl aus Bruchsaler Öl (P 1203-Mittelöl)	Vorhydr. Mittelöl aus Steink. Verfl. (K 1494-Mittelöl)	Mittelöl aus Rumän. Erdöl (P 1490-Mittelöl)
Anilinpunkt		+ 49	+ 67,5	+ 49	+ 62,5
Temperatur mV (°C)		23 (442)	24 (460)	21,5 (416)	21 (409)
Durchsatz kg/Ltr. Kontakt und Stunde		0,5	0,5	0,5	0,5
Zyklusdauer Minuten		20	20	20	20
Gewichts-% des Gesamtanfalls	Koks Gas C ₁ + C ₂ (% Olefine) C ₃ + C ₄ (% Olefine) Benzin - 150° " 150-160° Rückstand 160°	3 1 (26) 6 (22) 50 10 50	4 2 8 28 10 48	3 1 (26) 10 (10) 46 10 30	4,5 1,5 (23) 10 (8) 30 10 45
Verlust auf Benzin - 150°	C ₁ -C ₄ + Koks/Bi+Gas+Koks C ₁ -C ₂ + Koke/ " " "	25 10	33 14	25 7	35 15
Verlust auf Benzin - 160°	C ₁ -C ₄ + Koke/ " " " C ₁ -C ₂ + " " " "	20 8	27 12	20 6	29 11
Benzin - 150°	Jodzahl Gew.% Aromaten Oktanzahl Motormethode, Motormethode + 0,12 Pb 77/92	20 20	50 20	10 18	15 15
Schwerbenzin 150-160°	Jodzahl Gew.% Aromaten Oktanzahl MM./M.M. + 0,12	13 28 65/79	15 30 52/72	13 55 74/(85)	2 47 61/76
Rückstand > 160°	Jodzahl Anilinpunkt Cetanzahl	30 + 24 30	20 + 56 50	30 + 8 25	4 45 45

CJ
L
CJ

Versuchabericht.

Es soll hier über einige katalytische Krackversuche in einem 40-Ltr. Ofen berichtet werden, deren Hauptzweck die Herstellung grösserer Benzinkörper aus Steinkohleverhydrierungsmittelöl für Überladeversuche und Qualitätsvergleich mit Hydrierbenzin war (vgl. Bericht 199081 Dr.Reitz vom 28.1.1942). Für diese Versuche, die rasch durchgeführt werden sollten, wurde der DHD-Ofen 601, der aus 4 Einzelöfen von je 10 Ltr. Inhalt besteht, ohne irgendwelche Veränderungen verwendet. Da dieser Ofen nicht für die besonderen Verhältnisse des Krackverfahrens eingerichtet war, ergaben sich einmal unverhältnismässig lange Regenerationszeiten und andererseits grössere Produktverluste bei den Einzelversuchen, sodass die Bilanzierung der Versuche keine allzuheute Genauigkeit beanspruchen kann. Das Hauptgewicht soll daher bei dieser Zusammenstellung auf die Produkteigenschaften in Abhängigkeit von den Fahrbedingungen gelegt werden.

Folgende Versuche wurden ausgeführt:

1. Einbau Kontakt 6108 (Terrana, 10 mm Pillen), 67 Versuchzyklen.

- a) Versuche zur Herstellung grösserer Benzinkörper aus Verhydrierungsmittelöl aus Oberschlesischer Steinkohle, 24 mV, Durchsatz etwa 0,5 kg/Ltr.Kontakt und Stunde, Zykluslänge anfangs 15, später 20 Minuten,
- b) Versuche mit dem gleichen Ausgangsöl unter Variation von Temperatur, Durchsatz und Zykluslänge,
- c) Versuche mit Mittelöl aus Bruchsaler Öl (P 1203) unter Variation der Versuchsbedingungen.

2. Einbau Kontakt 6752 (Synthet.Al-Silikat, 10 mm Pillen), 46 Zyklen

- a) Herstellung grösserer Benzinkörper aus dem oben genannten Steinkohleverhydrierungsmittelöl, 21 (bis 21,5) mV, Durchsatz etwa 0,5, 20 Min.Zyklen,
- b) Versuche mit Mittelöl aus rumänischem Öl (P 1490) unter Variation der Bedingungen.

Tabelle 1 enthält die Analysen der Ausgangsöle,

Tabelle 2 enthält Versuchsbedingungen, Bilanzierung und genauere Angaben über die Vergasungszusammensetzung für die unter 1a und 2a genannten Versuche. Über die Produkteigenschaften wurde in der oben erwähnten Zusammenstellung schon eingehend berichtet.

Tabelle 3 enthält Versuchsbedingungen und Bilanzierung der unter 1b und 2 b genannten Versuche.

Tabelle 4 die zugehörigen Produktuntersuchungen, und zwar außer dem Abtrennprodukt Untersuchungen der Fraktionen - 150°, 150 - 180° und > 180°.

Tabelle 1: Ausgangsstoffe.

	Steinkohle- mittelfl	Erdölmitteflle	
	P 1494-B-Mit- telöl v.Ka. 501 vom 3.11.41	P 1203 v.180 - 530 v.3.11. 41/Bruchsaler 81)	P 1490 v. 170-350 v. 28.11.41 (Rumänien)
Spez.Gewicht/20°	0,872	0,809	0,822
Anilinpunkt	+ 49	+ 67,8	+ 62,5
Siedebeginn °C	198	163	170
" - 180	-	8	1,5
" - 200	-	18	12,5
" - 225	25	52	30
" - 250	53	49	44
" - 275	73	69	59
" - 300	91	88	72
" - 325	-	99	83,5
" - 350	-	-	98
Endpunkt °C/%	312/98	325	357/97,5
% H	0,013	0,012	-
Anilinpunkt Fraktionen			
140 - 160		+ 59,5	
160 - 180		61	
180 - 200	+ 44,5	62,5	180-210 +53
200 - 225	45,2	64	210-230 +56,5
225 - 250	46,7	66,5	
250 - 275	49,7	68,5	240-270 +61,5
275 - 300	52,5	72,8	280-310 +67
300 - 325	55,2	75,0	310-330 +71,5
325 - 350	63,5	-	> 330 + 72

Krucken von vorvadriertem Steinkohleverflüssigungsmittel

Produkteigenschaften bei Ternanankontakt (K 6103)

Die Temperatur wurde zwischen 23 und 25 mV (442 und 476°C), der Durchsatz zwischen 0,5 und 1 kg je Ltr. Kontakt Raum und 3 Stunde und die Zykluslänge zwischen 20 (15) und 60 Minuten variiert. Die Benzinkonzentration im Abstreifer bewegte sich dabei zwischen 19 und 32% - 150° bzw. 26 und 44% - 180°. Bei den 20 Min-Zyklen war die Benzinkoncentration praktisch unabhängig von der Temperatur und ging bei Verdopplung des Durchsatzes um 1/4 - 1/5 zurück. Ein ähnlicher Rückgang ergibt sich bei Verlängerung der Zyklusdauer auf 60 Minuten. Bei den 60 Min.-Zyklen schien die Benzinkoncentration mit steigender Temperatur etwas geringer zu werden; die Messwerte bei 24 mV zeigen eine Unstimmigkeit, insofern als bei Durchsatz 1 die Spaltung grösser erscheint als bei Durchsatz 0,5. Die Jodzahlen (vgl. Kurvenblatt 1) der Benzine -150° lagen zwischen 16 und 54; sie steigen mit Temperatur und Zyklusdauer stark, mit dem Durchsatz ebenfalls, aber weniger stark an. Die Jodzahlen der Schwerbenzinfraktionen zwischen 150 und 180° lagen zwischen 13 und 25; sie ändern sich mit den Versuchsbedingungen im gleichen Sinne, aber weniger stark als die der Benzine -150°. Die Jodzahlen der Rückstände über 180° (zwischen 20 u. 32) steigen ebenfalls mit der Temperatur schwach an, werden dagegen bei Verlängerung der Zyklusdauer etwas niedriger. Der Aromatengehalt (vgl. Kurvenblatt 2) der Benzine -150° (zwischen 15 und 27 Gew.-%) steigt mit der Temperatur und nimmt mit der Zyklusdauer etwas ab; die Abhängigkeit vom Durchsatz war nicht eindeutig, jedenfalls aber nur gering. Die Schwerbenzine enthielten 25 - 47% Aromaten bei ähnlichen, aber stärker ausgeprägten Abhängigkeiten von den Versuchsbedingungen; mit steigendem Durchsatz nimmt der Aromatengehalt deutlich etwas ab. Der Wasserstoffgehalt des Rückstandes über 180° ändert sich gemessen am seinem Anilinpunkt, parallel mit dem Aromatengehalt der Schwerbenzinfraktion, wobei allerdings die Abhängigkeit von Durchsatz und Zykluslänge relativ gross gegenüber der Temperaturabhängigkeit ist. Die Oktanzahlen (vgl. Kurvenblatt 3) der unstabilisierten Benzine -150° variierten nur in relativ engen Grenzen (Oktanzahl Motor-Methode 74,5 - 78, Motor-Methode + 0,12% Pb, 89,6 - 92,3), wobei lediglich die Verlängerung der Zyklen von sichtbarem (ungünstigen) Einfluss ist. Da die % -100 bei den einzelnen Benzingrößen nur wenig verschieden waren (zwischen 54 und 66), ist auch kein eindeutiger Zusammenhang zwischen Oktanzahl und Siedekurve zu erkennen. Die Oktanzahlen der Fraktion von 150 - 180° gehen deutlich mit dem stärker veränderlichen Aromatengehalt dieser Fraktion parallel (Oktanzahl Motor-Methode 58-71, Motor-Methode + 0,12% Pb 75 - 79). Die Oktanzahlen der Rückstände > 180° lagen zwischen 29 und 37 und gingen ungefähr den Anilinpunkten dieser Fraktion parallel. Der Siedepunkt der Rückstände lag mit Werten zwischen 316 und 362 höher als der des Ausgangsstoffes mit 318 entsprechend einer Neubildung hochsiedender Anteile bis zu einer Menge von etwa 3%. Es besteht eine gewisse Parallelität zwischen Erhöhung des Siedepunktes und Dehydrierung des Rückstandes.

Produkteigenschaften bei synthetischem Al-Silikat (K 6752).

Entsprechend der höheren Aktivität dieses Kontaktes wurden erheblich tiefere Temperaturen angewandt (21 - 21,5 mV = 408 - 416°C), Durchsatz und Zykluslänge wurden nicht variiert (Durchsatz 0,5, 20 Min-Zyklen). Die Benzinkonzentration war bei K 6752 wesentlich höher (42 - 55% - 150° bzw. 53,5 - 67,5% bis 180°) und stieg im Gegenzug

satz zu K 6108 mit der Temperatur an. Die Jodzahlen der Benzine waren erheblich niedriger als bei K 6108 und zwar lagen sie mit der Temperatur ansteigend zwischen 6,4 und 7,9 (-150°), zwischen 10 und 13 (150 - 180°), während die der Rückstände über 180° von gleicher GröÙe waren wie bei K 6108. Eine Betrachtung von Kurvenblatt 1 zeigt, dass die Jodzahlen anscheinend hauptsächlich eine Funktion der Temperatur und praktisch unabhängig vom Katalysator sind. Im Gegensatz hierzu ist der Aromatengehalt der Benzine (vgl. Kurvenblatt 2) stark katalysatorabhängig und zwar gibt K 6752 trotz seiner erheblich tieferen Temperatur in der Fraktion -150° fast ebensoviel Aromaten wie K 6108 (15 - 18,5 Gew.-%), in der Fraktion von 150-180° aber sogar erheblich mehr als K 6108 (49-55 %). Die Aromatenverteilung ist also ebenfalls verschieden. Entsprechend gibt K 6752 auch einen wasserstoffärmeren Rückstand (AP +8 - +15°). Die Aromaten nehmen mit der Temperatur stärker zu als bei K 6108, der Anilinpunkt des Rückstandes sinkt entsprechend schneller. Die 6752-Benzine haben bessere Oktanzahlen (vgl. Kurvenblatt 3) und zwar auch in der Fraktion -150° trotz niedrigerem Aromaten- und Ungesättigtengehaltes. Die Oktanzahlen steigen deutlich mit dem Aromatengehalt und damit auch mit der Temperatur: -150° Oktanzahl Motormethode 78-79, Motormethode + 0,12 % Pb 96, 150 - 180° Oktanzahl Motormethode 70 - 74. Der Oktanzahl-Abfall in den oberen Fraktionen ist geringer als bei K 6108. Die Oktanzahlen (>180°) liegen entsprechend dem niedrigeren H₂-Gehalt niedriger (26-28). Auch hier tritt eine Erhöhung des Siedendpunktes auf 340 - 360° ein entsprechend einer Neubildung > 500° von 2 - 3 %; sie nimmt mit der Ofentemperatur zu.

Fractionsanilinpunktskurven (vgl. Kurvenblatt 4 - 6)

Die Absträifer wurden in 20 - 30°-Faktionen zerlegt, deren Anilinpunkt bestimmt wurde. Die Anilinpunktskurven bestätigen zunächst die oben schon aus dem Aromatengehalt bzw. dem Anilinpunkt der Fraktionen -150/150-180/>180 gezogenen Schlüsse hinsichtlich der Abhängigkeit von den Fahrbedingungen. Besonders deutlich ist das starke Zurückgehen der Dehydrierung des Mittelölrückstandes bei Erhöhung des Durchsatzes oder Verlängerung der Zyklen. Die Kurven zeigen stets ein bei etwa 160° liegendes Minimum (zwischen +15 und +34 bei K 6108 und zwischen +7 und +15 bei K 6752). Der Wiederanstieg des Anilinpunkts in den darüberliegenden Fraktionen ist bei 20 Min. Zyklen und Durchsatz 0,5 am geringsten. Oberhalb vom 250 - 260° tritt bei K 6108 erneuter Abfall auf, der um so stärker ist, je schärfer die Fahrbedingungen sind und bei Durchsatz 1,0 und 60 Min. Zyklen praktisch verschwindet. Bei K 6752 setzt der Wiederabfall schon oberhalb von 220° ein.

Aufteilung des Gesamtanfalles bei Terranakontakt (vgl. Kurvenblatt 8)

Die Aufteilung nach Koks, Gas (O₂ und C₄), Benzin und Rückstand ist bei K 6108 kaum temperaturabhängig, dagegen gehen Koks,

Gas und Benzin bei Erhöhung sowohl des Durchsatzes als auch der Zykluslänge stärker zurück. Der Verlust (Vergasung + Koks bezogen auf Benzin + Verlust) zeigt bei Durchsatz 0,5 überraschenderweise bei der mittleren Temperatur von 24 mV ein Maximum, während er bei Durchsatz 1 im ganzen Temperaturintervall ansteigt. Der Verlust wird bei Durchsatzerhöhung und auch bei Zyklusverlängerung geringer, er liegt bezogen auf Benzin - 150° zwischen den Grenzen 17 (137) und 32 %, und bezogen auf Benzin - 180° zwischen 18 (109) und 27 %. Eine eindeutige Abhängigkeit des Verlustes von der Benzinkmenge, d.h. also von dem Ausmaß der Spaltung ist nicht zu erkennen (s. Kurvenblatt 8 unten). Die Koksmengen liegen, auf Benzin - 150° bezogen, zwischen 3,5 und 15,5 %, ergaben sich aber, wie bereits in der Einleitung erwähnt wurde, in der verwendeten Versuchsausrüstung vermutlich zu hoch, und zwar anscheinend durch Verbrennung von Ölresten, die bei der Umstellung von Betrieb auf Regeneration trotz des Spülens mit Stickstoff in den Leitungen zurückgeblieben waren. Demzufolge ergaben sich auch die auf Benzin bezogenen Kokswerte bei den 1 Std.-Zyklen erheblich kleiner als bei 20 Min.-Zyklen (4,8 - 9,5 gegenüber 11,4 - 15,5) und bei Durchsatz 1,0 erheblich geringer als bei Durchsatz 0,5 (3,6 - 7,5 gegenüber 9,5 - 15,5). Die wahren Werte sind schwer abzuschätzen, dürften aber in keinem Falle 10 % überschreiten.

Da die Vergasung, wie später noch genauer dargelegt wird, zu ca. 90 Gewichts-% aus Flüssiggas (C_2 + C_3 -Kohlenwasserstoffe) besteht, dürfte die C_1 + C_2 -Vergasung auf Benzin bezogen einen Wert von etwa 2 % in keinem Falle übersteigen, d.h. dass der Verlust, wenn man die Flüssiggase noch als Gewinn buchen will, sich, ebenfalls auf Benzin - 150° bezogen, zwischen ca. 5 % bei hohem Durchsatz und langen Zyklen und 10 - 12 % bei kurzen Zyklen und kleinen Durchsatz bewegen und zu 70 - 80 % aus Koks bestehen dürfte. Um im geraden Durchgang eine möglichst hohe Aufspaltung des Mittelöls zu Benzin zu erreichen, müsste man Durchsatz und Zykluslänge klein halten. Unter dieser Einschränkung ist nach den vorliegenden Ergebnissen eine Temperatur von 23 mV oder noch darunter am vorteilhaftesten, da die Benzinkualität ja praktisch nicht temperaturabhängig ist. Man hätte bei 23 mV, 20 Min.-Zyklen und Durchsatz 0,5 kg/Ltr. Kontakt und Stunde etwa 29 % Benzin - 150° (38 % - 180°), 60 % Rückstand > 150° (53 % > 180), 8 % Flüssiggas, 0,6 % C_1 und C_2 -Kohlenwasserstoffe, 2,4 % Koks, wobei die 3 letzten Zahlen mehr oder weniger auf Schätzungen beruhen und auf Benzin - 150° + Verlust bezogen einen Verlust (C_1 bis C_4 + Koks) von 24 % bzw. (C_1 bis C_3 + Koks) von 3 % entsprechen. Die entsprechenden Verlustzahlen für Benzin - 180° wären 19 bzw. 6,5 %.

Aufteilung des Gesamtanfallen bei synthetischem Kontakt. (vgl. ebenfalls Kurvenblatt 8).

Zum Unterschied von K 6108 fällt auf, dass die Spaltung zwischen 21 und 21,5 mV noch sehr stark zunimmt und dass gleichzeitig nur die Koksmenge, nicht aber die Gasmenge zunimmt, sodass der Verlust/Koks + C_1 - C_4 -Gas) bezogen auf Benzin + Verlust mit steigender Temperatur abnimmt. Der prozentuale Verlust ist aber selbst bei 21,5 mV noch fast ebenssohoch wie die höchsten bei K 6108 bestimmten Werte, nämlich über 30 % bzw. 25 % auf Benzin - 150° bzw. - 180° bezogen. Dabei wurden zufällig sehr hohe Kokswerte erhalten (vgl. die wesentlich niedrigeren Mittelwerte in Tabelle 2). Entsprechend wie oben ergibt sich für die günstigsten mit K 6758 angewandten Bedingungen (21,5 mV

20 Min.-Zyklen, Durchsatz 0,5) folgende Aufteilung: 4,6 % Benzin - 150° (55 % - 180°), 40 % Rückstand > 150° (28 % - 180°), 10 % Flüssiggas 1 % C₁ und C₂-Kohlenwasserstoffe, 3 % Koks, und ein Verlust (C₁ bis C₄ + Koks) auf Benzin - 150° + Verlust von 23 % bzw. (C₁ bis C₈ + Koks) von 11 %. Die beiden letzten Zahlen erniedrigen sich auf Benzin - 180° bezogen auf 23,5 bzw. 10 %. Der prozentuale Verlust an C₁ + C₂ + Koks scheint, soweit sich dies aus den unsicheren Bildzahlen folgern lässt im Gegensatz zum Verlust einschließlich Flüssiggas bei steigender Temperatur konstant zu bleiben oder sogar schwach anzusteigen, da die Flüssiggasmenge anscheinend stärker zurückgeht. Es ist daher nicht anzunehmen, dass eine Temperaturerhöhung über 21,5 mV hinaus noch wesentliche Vorteile gebracht hätte.

Zusammensetzung der Vergasung bei K 6108 und K 6752.

In einzelnen Fällen wurde die Vergasungszusammensetzung genauer ermittelt (vgl. Tabelle 3 und Kurvenblatt 9). Bei K 6108 setzte sich die Vergasung gewichtsmässig aus 10 % H₂, CH₄, C₂H₆ und C₃H₈, 30 % C₂H₆ + C₃H₈ und 60 % C₂H₂ + C₃H₄ zusammen, während die Verhältnisse bei K 6752 noch günstiger lagen (6 : 25 : 69 %). Der Anteil an Ungesättigten in den einzelnen Kohlenwasserstoff-Fraktionen sinkt sehr stark mit der C-Atomzahl, wobei sich der Abfall unter Heranziehung der Jodzahlen noch in die unteren Benzinfraktionen hinein verfolgen lässt. In der C₂-Fraktion liefert K 6752 mehr Ungesättigte als K 6108 (55 gegen 43); der Abfall der Ungesättigten ist aber bei K 6752 wesentlich steiler, sodass in der C₃-Fraktion bereits nur noch 3 % Ungesättigte sind gegenüber 18 % bei K 6108. Da K 6752 weniger stark ungesättigte Produkte liefert als K 6108, ist bei erstere auch erheblich weniger H₂ in der Vergasung enthalten (10 - 13 Vol.-% gegen 22 - 35).

Die Gasentwicklung verläuft, wie bei K 6108 bei 24 mV, 20 Min.-Zyklus und Durchsatz 0,5 genauer festgestellt wurde, volumenmässig während der Dauer des Zyklus praktisch mit konstanter Geschwindigkeit, während die Zusammensetzung sich schon im Verlauf von 20 Min.-Zyklen merklich ändert. Zu Beginn ist der H₂-Gehalt gering, steigt dann aber an (von unter 20 auf über 40 Vol.-Prozent). Der entsprechende Rückgang der Kohlenwasserstoffe geht vermutlich mit dem Rückgang der Mittelölspaltung zu Benzin parallel. Das Verhältnis gesättigte : ungesättigte Kohlenwasserstoffe blieb innerhalb der Schwankungen der Olefinbestimmungen konstant, sodass die Zunahme des H₂ hauptsächlich auf eine Zunahme der Ungesättigten in flüssigem Produkt hinweist. Das mittlere C der Vergasung nahm gleichzeitig von anfangs über 3 auf etwa 2,5 ab.

Kracken von Erdölmittelölen (vgl. Kurvenblatt 10-11).

Kracken von Bruchsaler Mittelöl mit Terranakontakt (K 6108).

Temp. 24 mV; Durchsatz 0,5 und 20 Min.-Zyklus bzw. 1,0 und 60 Min.-Zyklus. Die Ergebnisse sollen im folgenden stets mit denen an Steinkohlenmittelöl über dem gleichen Kontakt verglichen werden. Bei dem niedrigen Durchsatz war die Benzinkonzentration ähnlich (35 %), bei hohem Durchsatz kleiner als bei Steinkohle (19 %). Die Jodzahlen lagen im Benzin - 150° höher, der Aromatengehalt war gleich, ebenso waren die Oktanzahlen in dem günstigeren Fall bei Durchsatz 0,5 gleich, allerdings bei Durchsatz 1,0 und 60 Min.-Zyklus, in welchem Falle das Benzin weniger S - 100° enthielt, um etwa 4 Punkte niedriger.

ger. Da die Benzine unstabilisiert untersucht wurden, ist dieses günstige Ergebnis aber z.T. auf einen höheren Gehalt des Benzins am gelösten Butan zurückzuführen.

Die Schwerbenzinfraktion ($150 - 180^\circ$) war bei dem Erdöl mengenmäßig etwas grösser, hatte etwa gleiche Jodzahlen, etwas weniger Aromaten und erheblich schlechtere Oktanzahlen als bei Steinkohle (Grundoktanzahl ca. 15 Punkte, Bleiwert ca. 5 Punkte). Bei Durchsatz 1,0 und 60 Min. Zyklus hatte das Restbenzin Oktanzahl Motor-Methode / Motor-Methode + 0,12 % Pb von 18/64. Sowohl hinsichtlich der Grösse dieser Fraktion als auch hinsichtlich ihrer Eigenschaften ist zu berücksichtigen, dass sie nach der Siedekurve des Ausgangsöles noch wenig veränderte, insbesondere nicht herabgesetzte Anteile des Ausgangsöles enthält.

Der Rückstand schliesslich war sehr wasserstoffreich, hatte Oktanzahlen knapp über 50 und niedrigere Jodzahlen als bei Steinkohle.

Die Anilinpunktskurven (vgl. Kurvenblatt 6) zeigen nur ein schwaches Minimum und einen starken Anstieg oberhalb von 160° , sodass das Krack-B-Mittelöl gegenüber dem Ausgangsöl nur schwach dehydriert ist (von Anilinpunkt 65° auf Anilinpunkt ca. 50°) im Gegensatz zu den wesentlich stärkeren Änderungen bei Steinkohle.

Der Verlust ($C_1 - C_4 + \text{Koks}$) ist auf Benzin - 150° bezogen etwas grösser, auf Benzin - 180° bezogen praktisch ebensondern wie bei Steinkohle unter gleichen Fahrbedingungen.

Die Vergasung enthält bedeutend weniger Wasserstoff und einen grösseren Anteil an Ungesättigten in den Kohlenwasserstoffen.

Kracken von Rumänischen Erdölmittelöl mit synthetischem Kontakt (K 6752).

Das Ausgangsöl war etwas wasserstoffärmer als das Bruchsaler, lag aber im E_η -Gehalt näher an diesem als an dem Steinkohlemittelöl. Es wurde bei $20,5 - 21$ mV (also 0,5 mV niedriger als Steinkohle) und Durchsatz 0,5 - 1 und 20 - 60 Min. Zyklen verarbeitet. Die Spaltung war unter gleichen Versuchsbedingungen etwas schwächer als bei dem Steinkohlemittelöl, wobei das Benzin - 150° etwa ebensoviel Aromaten, aber (im Gegensatz zu den Ergebnissen im vorhergehenden Abschnitt) erheblich höhere Jodzahlen¹⁾ hatte (10 - 16). Die Oktanzahlen waren ebensogut und teilweise noch besser, wobei die Benzine allerdings erhebliche Mengen an gelöstem Butan enthielten. Mit wachsender Zykluslänge nimmt die Spaltung ab, die Jodzahl bleibt etwa gleich, der Aromatengehalt steigt etwas an, was aber zum grossen Teil durch eine Verlagerung der Benzinsiedekurve erklärt werden kann. Bei der höheren Temperatur waren die Aromatengehalte überraschenderweise etwas niedriger als bei der tieferen. Die Schwerbenzinfraktionen und die Rückstände hatten im Gegensatz zum Benzin - 150° niedrigere Jodzahlen als aus Steinkohle und zwar mit 1,3 - 2,1 im Schwerbenzin und 0,3 - 4,4 im Rückstand sogar ausserordentlich niedrige Werte. Aromatengehalt und Oktanzahl der Schwerbenzine waren

- 1) Die Jodzahlen wurden bei den Versuchen mit Rumän. Öl aus der Bromzahl berechnet, bei den übrigen dagegen nach der Methode Hanus 1938 bestimmt. Es ist daher bei diesem Vergleich sowie bei den folgenden in diesem Abschnitt zu berücksichtigen, dass aus der Bromzahl durchweg bis zu etwa 50 % niedrigere Werte erhalten werden als nach Hanus 1938.

niedriger als bei Steinkohle, aber erheblich höher als bei Bruchsalter Öl und K 6108 (38 - 47 Gew.% Aromaten, Oktanzahl Motor-Methode/Motor-Methode + 0,12 % Pb 56-52/73 - 77). Der Rückstand ähnelte im Motor-Methode + 45 -+51, Oktanzahlen, 44-46). Die Schwerbenzinfraktion enthält ebenso wie bei der Spaltung von Bruchsalter Öl mit Kontakt 6108 (s.o.) noch ungespaltene Anteile des Ausgangsöles.

Die Anilinpunktskurven weisen tiefe Minima bei etwa 160°, der Wiederanstieg des Anilinpunkts ist oberhalb von 250° langsamer als im Ausgangsprodukt, sodass die Kurven sich wesentlich von denen mit K 6108 und P 1203-Mittelöl unterscheiden.

Der Verlust ($C_1 - C_4 + \text{Koks}$) ist auf Benzin - 150° + Verlust bezogen noch höher als bei Steinkohle.

Beim Kracken des Erdölmittelöles war die C_2 -Fraktion in der Vergasung etwas grösser als beim Kracken des Steinkohlenmittelöles (7 gegen 3 %), die Ungesättigten waren weniger selektiv auf die untersten Kohlenwasserstoff-Fraktionen verteilt.

gez. Reitz.

Gemeinsam mit:

Dr. Donath,
" Nonnenmacher,
" Fürst, Meier, Dohn.

Tabelle 2: Vergasung.

	K 6108, Steink. Vorky. Mittelöl					K 6752 St. K. Vorky. M' Öl		K 6752 Erdöl	
Datum 1941	5.-8.11. (Mittel)	8.-21.11. (Mittel)	19.-11. 10.-50	13.08.-12. -11.-20		22.11.-21. 22.-23. (Mittel)	28.11.-7.12. 10.-11.	30.11.-11. 30.	8.12. 8.12.
Zyklus Nr.	1 - 6	7-53	12	19		59	1-40	9	13
" Dauer : Min.	15	20	"	-		-	20	20	60
Temperatur mV	24	-	-	-		-	21-21,5	21	20,5
Durchsatz kg/Ltr.u.Std.	0,5	-	-	-		-	-	-	-
<u>Anfall (Gewichts-%)</u>									
Benzin -150°	24	(25)	(23)	26,7	34,2	37,8	18,5		
Mittelöl >150° (150 - 180°)	64 (10)	62,4 (10,5)	64 (8,4)	60,7 (8,3)	49,3 (11,3)	45,8 (11,7)	68,0 (16,1)		
Gas C ₁ - C ₄	7,5	(7,6)	8,0	7,7	11,6	12,3	9,8		
Koks	5	5,0 ³⁾	4,93)	4,9	4,9	4,1	3,7		
Rohbilanz %	0,95	0,93	0,995	0,89	0,96	0,91	0,81	94,3	
<u>Vergasung: Produktgas</u>									
Ltr/kg Produkt	65	67	58	56	71	63	71	41,5	
Vol.%: H ₂	22,3	31,6	34,2	26,4	24,3	35,2	10,4	13,3	25,5
Gesättigte KW-Stoffe (Mittleres C)	61,81 2,61	53,21 2,65 ¹⁾	47,0 (2,6-2,7)	41,4 (2,7-2,8)	42,5 2,9	46,1 2,91	74,8 3,2	63,6 3,2	54,0 (2,7-2,8)
CH ₄	-	-	20,5	18,4	8,4	-	-	10,5	20,6
C ₂ H ₆	-	-	7,1	7,3	14,5	-	-	23,2	16,1
C ₃ H ₈	-	-	19,4	15,7	15,9	-	-	29,9	17,3
C ₄ H ₁₀	-	-	2,9	2,8	3,0	-	-	2,8	2,8
Olefine (Mittleres C)	15,0	14,3	12,4	11,7	13,35	17,4	12,7	13,6	11,45
C ₂ H ₄	-	-	4,9	4,95	3,0	-	-	3,1	5,0
C ₃ H ₆	-	-	4,0	4,35	6,75	-	-	9,6	4,7
C ₄ H ₈	-	-	3,5	2,4	3,6	-	-	0,93	1,75
Gasbenzin	9,22	5,2	5,8	6,75	8,5	7,9	9,3	9,3	4,65
<u>Gelöstes Gas</u>									
g C ₃ H ₆ /kg Produkt	-	-	-	1,5	-	-	-	-	-
C ₃ H ₈	-	-	-	4,35	-	-	-	-	-
C ₄ H ₁₀	-	-	-	22,65	31,6	65,4	(~70)	64,6	
<u>Gew% der Vergasung</u>									
H ₂	-	-	-	1,3	2,4	-	0,5	0,8	
CH ₄	-	-	-	3,5	-	-	4,3	7,2	
C ₂ H ₆	-	-	-	2,9	-	-	1,5	2,2	
C ₃ H ₄	-	-	-	2,2	24,0 %	Olefine	17,6	11,0	
C ₃ H ₈	-	-	-	21,0	74,6 %	Paraffine	7,2	3,1	
C ₃ H ₆	-	-	-	9,1	49,3 (60)	66,7 (~70)	71,9	2,2	
C ₄ H ₁₀ (% 150)	-	-	-	10,6	-	-	2,2	3,8	
Vergas.+Koks/V+K+B1 -150	34,3	33,5	36,0	32,1	32,6	30,3	42,2		
" / " Bi -180	26,9	26,2	24,1	26,5	26,6	24,9	28,1		
C ₁ -C ₂ +Koks/V+K+B1 -150	-	-	15,9	-	-	9,1	14,7		

1) einschliesslich Gasbenzin

2) Mittel aus wenigen Versuchen

3) O₂-Verbrauch nach Gaswaage, wahrscheinlich zu hoch.

Tabelle 5: Versuche unter Variation der Bedingungen.

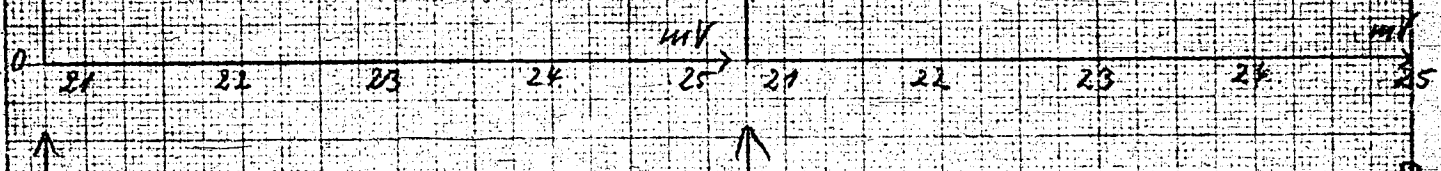
Kontakt	6108									
Einspritzung	P 1494-B-Mittelöl von Kammer 501									
Datum 1941	21.11. 14 ⁴⁵ -15 ⁴⁵ 20 ⁵⁵ -21 ¹⁵ 3 ⁰⁰ -4 ⁰⁰ 10 ⁴⁰ -11 ⁰⁰ 16 ³⁰ -17 ³⁰ 22 ⁴⁰ -23 ⁰⁰ 23 ⁰⁰ -25 ⁰⁰ 8 ³⁰ -9 ³⁰ 15 ³⁰ -15 ⁵⁰									
Zyklus	54	55	56	57	58	59	60	61	62	
Temperatur mV	24	25	-	23	-	24	-	25		
Durchsatz kg/Ltr. Std.	0,465	0,495	0,55	0,575	0,645	0,47	0,835	0,92	0,955	
Zyklusdauer Min.	60	20	60	20	60	20	60	20		
Anfall: Benzin - 150	22,1	28,8	23,1	28,4	29,9	26,7	25,3	29,3	19,8	
Benzin 150-180°	7,9	6,7	8,2	9,3	9,4	8,3	7,6	10,5	6,5	
Mittelöl > 180°	62,0	52,6	63,3	52,1	56,7	52,4	58,7	53,6	64,1	
Gas C ₁ - C ₄	5,7	7,4	4,0	(6,55)	(2,8)	7,7	6,4	5,5	5,6	
Koks	2,3	4,5	1,4	3,65	1,5	4,9	2,0	1,1	(4)	
Rohbilanz %	96,8	92,8	95,0	89,3	97,3	95,9	89,5	97,5	(95,3)	
Benzin - 150°										
Leistung	0,10	0,15	0,115	0,15	0,19	0,12	0,19	0,26	0,18	
Konzentration	24,0	32,7	24,4	31,6	31,3	30,6	27,6	31,4	22,0	
V + Koks/V + K + Bi	26,6	29,2	19,0	(26)	(13)	32,0	25,0	18,4	(33)	
Koks / Bi + Koks	9,5	13,5	5,7	11,4	4,8	15,5	7,3	3,6	-	
Benzin - 180°										
Leistung	0,135	0,16	0,16	0,16	0,15	0,15	0,15	0,15	0,15	
Konzentration	32,6	40,3	33,1	42,0	41,1	40,1	35,9	42,6	29,1	
V + Koks / V + K + Bi	21,0	25,1	14,7	(21)	(10)	26,5	20,3	14,3	(27)	
Produkt-Gas; Lit/kg Einspr.	58	59	55	49	33	62	40	35	35	
% H ₂	17,9	21,5	38,3	35,6	50,0	35,2	36,2	40,5	35,9	
% Olefine	13,7	16,0	14,3	10,8	11,5	17,4	14,7	12,8	13,5	
% gesättigte KW.	51,1	61,5	47,1	52,0	38,1	46,1	47,6	45,6	50,2	
Mittleres C " "	2,7	2,5	2,6	3,1	2,8	2,9	2,9	2,8	2,7	

	P 1203 v. 180-330°		P 1494 B-Mittelöl		P 1490 v. 170 - 350°		6752	
Datum 1941	-	24.11. 21 ⁴⁵ -22 ⁴⁵ 8 ²⁵ -8 ⁴⁵	-	28.11. 19 ⁵⁰ -20 ¹⁰ 1 ¹⁵ -2 ¹⁵	-	8.12. 15 ⁴⁰ -16 ⁰⁰ 23 ⁴⁰ -24 ⁰⁰	-	9.12. 22 ¹⁰ -22 ³⁰ 3 ³⁰ -4 ³⁰
Zyklus	63	64	66	67	2	3	42	43
Temperatur mV	-	23	-	-	21,5	21	20,5	21
Durchsatz kg/Ltr. Std.	0,96	0,94	0,49	0,98	0,625	0,505	0,485	0,505
Zyklusdauer Min.	60	20	20	60	20	20	60	20
Anfall: Benzin - 150	18,2	22,2	27,5	18,6	43,8	31,1	(25,2)	18,5
Benzin 150-180°	5,7	8,1	12,1	11,9	10,8	10,0	13,5	14,0
Mittelöl > 180°	69,8	65,3	45,85	64,3	26,2	40,3	44,4	51,9
Gas C ₁ - C ₄	4,3	2,7	8,95	3,3	11,2	13,2	(12)	9,8
Koks	(2)	(2)	(5,6)	(1,9)	8,0	5,4	4,0	6,2
Rohbilanz %	(94,7)	(96,5)	(90,5)	(96,1)	81,7	9,3	86,7	94,3
Benzin - 150°								
Leistung	0,16	0,20	0,12	0,175	0,22	0,145	0,105	0,09
Konzentration	19,4	23,3	32,2	19,6	54,3	39,2	(30)	21,4
V + Koks/V + K + Bi	(26)	(17,5)	34,6	21,8	30,5	37,4	(40)	42,2
Koks / Bi + Koks	-	-	-	-	15,4	14,8	16,3	16,7
Benzin - 180°								
Leistung	0,21	0,27	0,175	0,29	0,28	0,19	0,16	0,165
Konzentration	25,5	31,8	46,3	32,2	67,5	50,5	(46,5)	40,0
V + Koks / V + K + Bi	(20)	(13,5)	26,9	14,6	26,0	31,2	(30,5)	28,1
Produkt-Gas; Lit/kg Einspr.	37	25	58	29	40	44	39	36
% H ₂	35,0	44,7	18,9	21,9	9,6	2,8	8,4	24,7
% Olefine	12,5	12,8	23,2	22,6	8,0	12,6	14,2	12,2
% gesättigte KW.	51,7	42,1	55,0	55,0	77,5	79,6	67,6	56,9
Mittleres C " "	2,7	2,8	2,7	2,7	3,3	3,0	2,7	2,9

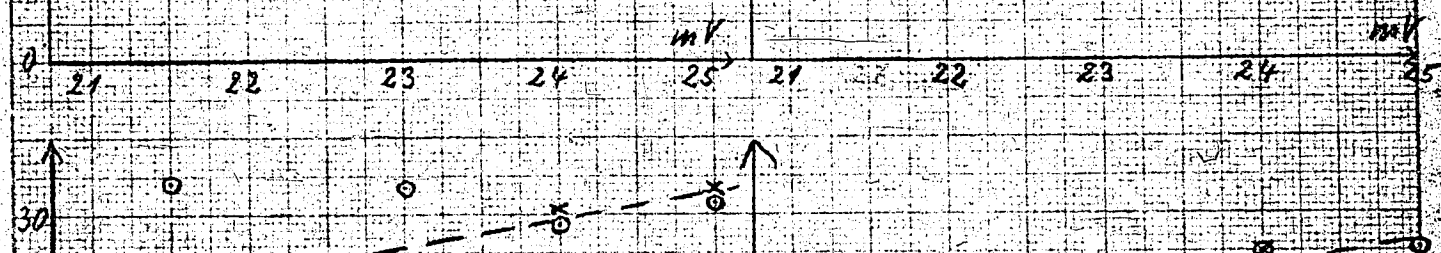
Tabelle 4: Produktuntersuchungen zu Tabelle 3.

	Kontakt 6108/P 1494 - B-Mittelöl										K 6108/P1203 Mittelöl				K 6752/P1494 B-M'81 Kontakt 6752				P 1490	Mittelöl
Datum 1941	21.11.	-	-	22.11.	-	-	-	23.11.	-	-	24.11.	-	-	-	28.11.	-	8.12.	-	9.12.	-
Zyklus	54	55	56	57	58	59	60	61	62	63	64	66	67	2	3	42	43	44	45	46
Temperatur mV	24	25	-	23	-	24	-	-	25	-	23	24	-	21,5	21	20,5	-	21	-	-
Durchsatz kg/Ltr..Std.	0,5	-	-	-	-	-	1,0	-	-	-	-	0,5	1,0	0,5	-	-	-	1,0	0,5	0,5
Zyklusdauer Min.	6,0	20	60	20	60	20	20	60	20	60	20	20	60	20	20	60	20	20	20	60
<u>Gesamtprodukt</u>																				
Spez.Gewicht/20°	0,838	0,827	0,835	0,820	0,822	0,826	0,825	0,822	0,826	0,827	0,837	0,773	0,793	0,778	0,798	0,781	0,790	0,784	0,788	0,788
Anilinpunkt I	+ 28,5	+ 19,5	+ 26,5	+ 26,5	+ 26	+ 26	+ 29,5	+ 30,5	+ 30,8	+ 30	+ 34,5	+ 48,8	+ 58	+ 24,5	+ 24,5	+ 42,5	+ 45,5	+ 40	+ 41	+ 43
" II	+ 55,5	+ 51,5	+ 55,5	+ 56	+ 55	+ 55	+ 56,5	+ 56	+ 56,8	+ 56	+ 57	+ 73	+ 76,5	+ 58	+ 56,5	+ 72	+ 75,2	+ 73,2	+ 73,2	+ 73,2
Jodzahl (Hanus 38)	25,3	23,7	33,4	29,5	24,6	30,4	28,3	28,0	33,7	33,1	20,5	13,1	25,2	20,1	28,6	5,4,2	0,3,2	6,7	6,2,2	7,3,2
Siedebeginn °C	57	57	58	34	43	44	33	39	36	69	40	29	45	26	28	35	37	-	33	30
% - 70	3	7	3	3	4	4	5,5	7	4,5	2	3	9	2	16	10,5	11	7,5	9	10,5	11
100	8	15,5	9	7	11,5	11	12	17	10	7	16,5	5	29,5	20	20	14,5	17	17,5	18,5	
150	21	31,5	22	15,5	28	27	33	22	17,5	19	30	14,5	54,5	41	34	25,5	32	27	29	
180	29	42,5	30	32	38,5	36	44,5	31	28	28	44,5	27,5	67	54	48,5	41,0	44	37,5	41,5	
200	39,5	54	41	53,5	48,5	48	49	54,5	41	37	39,5	55	38	77	62,5	59	51	55,5	52	54
250	74,5	80	74	82,5	80	79	78,5	80,5	73,5	77	76,5	64	88	82	80	75,5	76	75,5	89,5	89,5
300	91	93,5	90	93	92,5	92	94	89,5	98	93	92	88,5	-	89	93	91	88	91,5	91,5	95
Endpunkt °C	329	330	327	317	330	320	325	330	333	318	324	291	325	310	338	335	350	350	350	350
Destill.-Verlust %	3	1,5	4,5	1,5	3	2,5	2,5	4,5	1	3	2,5	5	3,5	6,5	3,5	2,5	5,0	2,5	3,5	
<u>Anilinpunkt Fraktionen</u>																				
50 - 80	+ 45	+ 46	+ 43,5	+ 49	+ 47,5	+ 47,5	-	+ 45,5	+ 45,5	+ 42	+ 48	-	-	+ 49,5	+ 49,5	+ 54	+ 53	+ 53,5	+ 54	
80 - 100	+ 40	+ 38	+ 31,5	+ 46,5	+ 44,5	+ 44,5	+ 42,5	+ 42,5	+ 35,5	+ 42	+ 42	+ 48,5	+ 47	+ 43,8	+ 44,5	+ 53,5	+ 51,5	+ 52	+ 52,5	
110 - 140	+ 31,5	+ 23	+ 24,5	+ 33,5	+ 33	+ 32	+ 34,5	+ 34,5	+ 29,5	+ 27	+ 37,5	+ 42	+ 46,5	+ 25,5	+ 39	+ 42,5	+ 40,5	+ 36	+ 40,5	
150 - 180	+ 25,5	+ 3,5 ¹⁾	+ 21,5	+ 23,5	+ 31,5	+ 22	+ 25,5	+ 28,5	+ 19,5	+ 12	+ 33,5	+ 41	+ 17,5	+ 7,5	+ 14,5	+ 32	+ 37	+ 26	+ 33,5	+ 32
180 - 210	+ 28	+ 17	+ 23,5	+ 23,5	+ 33,5	+ 22,5	+ 27	+ 31,5	+ 21,8	+ 28	+ 34	+ 45,5	+ 52,5	+ 8,5	+ 15	+ 36,5	+ 41	+ 35,5	+ 39	
210 - 230	+ 31	+ 20	+ 28,5	+ 25,5	+ 36	+ 25	+ 29	+ 25	+ 25,5	+ 28,5	+ 36	+ 50,5	+ 57,5	+ 13,0	+ 18,5	+ 45,5	+ 48	+ 40	+ 47,5	
240 - 270	+ 33,5	+ 21	+ 30,5	+ 24,5	+ 38	+ 24,5	+ 31	+ 37,5	+ 28,5	+ 35	+ 37,5	+ 63	+ 7,5	+ 17,5	+ 49,5	+ 52	+ 43	+ 52	+ 50,5	
280 - 310 / 310	+ 32	+ 11,5	+ 29,5	+ 19,5	+ 36,5	+ 18	+ 38	+ 25,8	+ 16,2	+ 36,5	+ 37	+ 64,2	+ 71	+ 8	+ 44	+ 54,5	+ 53	+ 44,5	+ 51,5	
<u>Benzin - 150° Gew.%</u>																				
Spez.Gewicht 20°C	23,7	32,1	23,6	31,8	30,3	31,1	28,8	32	21,6	19,0	23,3	32,9	18,5	54,7	42,0	33,9	24,0	37,1	31,3	31,0
Anilinpunkt I	0,732	0,730	0,726	0,742	0,730	0,719	0,727	0,724	0,736	0,725	0,698	0,715	0,710	0,713	0,685	0,695	0,692	0,703	0,706	
" II	+ 35	+ 33,5	+ 34,5	+ 37	+ 40,5	+ 37	+ 40	+ 38,5	+ 30,2	+ 32	+ 42	+ 44,8	+ 46,5	+ 40	+ 42	+ 44,5	+ 46,5	+ 45	+ 46,5	
Jodzahl (Hanus 38)	49,7	33	54,1	16,4	33,4	28,9	34,5	50,7	41,3	52,2	25,4	54,1	41,7	7,9	6,4	62,5	58,5	72	14,6	16,4
Siedebeginn °C	37	30	33	43	31	35	23	35	36	30	25	32	23	25	26	30	28	24	30	
% - 50	3,5	8	7,5	-	6	6	10	5	7,5	5	17	5	13	12	12	14,5	19	17,5	13,5	
- 70	17	23,5	21	12	20	20	24	21,5	23	18,5	23	32	28	28	30	31,5	35	35,5	32,5	
- 100	54	60	57	54	56	56,5	59	66	59	55	60	55	40,5	56,5	60	57	58	62,5	59,5	
- 120	78,5	81	76	79	80	79	81	85	81,5	80	83,5	71	88	80	70	74,5	73	77	75	
- 140	92,5	92	85,5	93,5	92,5	92	92,5	93	91,5	93,5	94	94	92	91	93	86	91	88,5	88,5	
- 150	97	95	89	-	94	-	94	95	97	96,5	92	-	93	80,5	-	89,5	95	95	93	
Endpunkt °C	153	154	153	157	155	154	158	1												

Benzin bis 150°



Schwerbenzin 150 - 180°



ODurchsatz 0.5
X - 0 1.0

Steinkohlevorhydrierung
mit Öl

Punktstand über 180°

mV

5 10

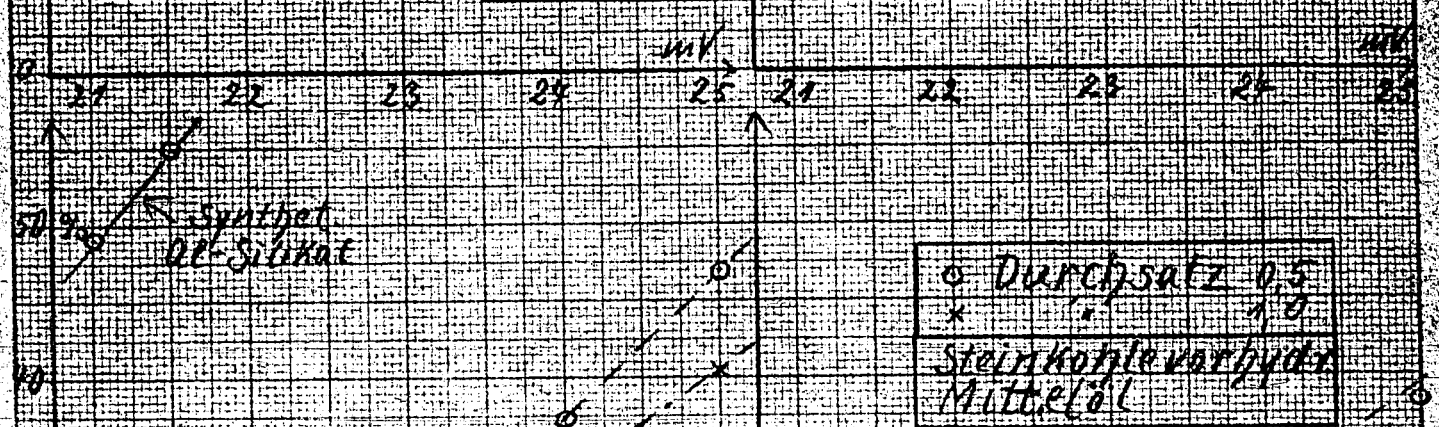
21 22 23 24 25 21 22 23 24

Temperaturabhängigkeit der Jodzahl bei 20 Minutenzyklen bei 60 Minutenzyklen

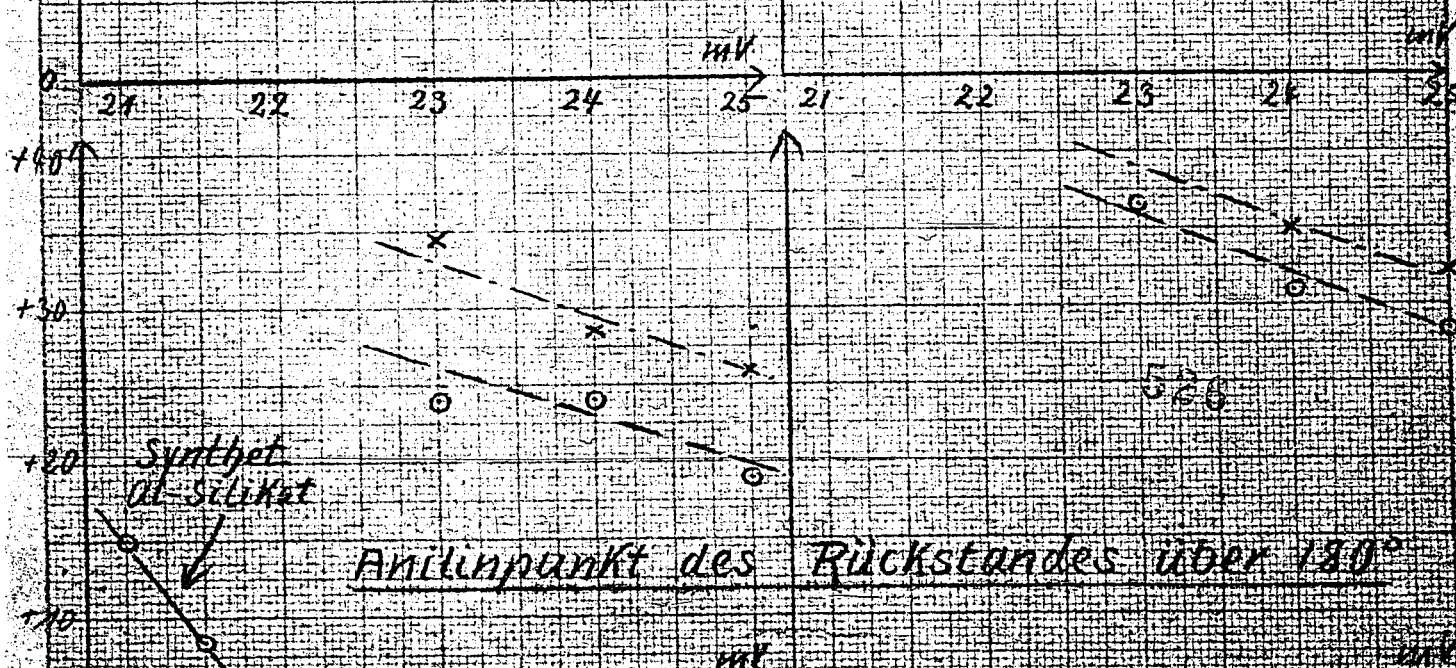
Jodzahlen

130 140

Gewichts-% Aromaten im
Benzin 17 bis 150°



Gewichts-% Aromaten im
Schwerbenzin 150-180



Motormethode + 0,12 Pg. 76

Oktanzahlen der Benzine - 150°/unstabilisiert)

Synthet.

ad. Silikat

Motormethode

21

22

23

24

25 MV

23

24

25 MV

Motormethode + 0,12 Pg. 76

Schwerbenzine 150-180°

Synth.

ad. Silikat

Motormethode

Durchsatz 0,5

" 1,0

Steinkohlevorhydr.
Mittelöl

21

22

23

24

MV

23

24

MV

Oktanzahlen der Mittelöle > 180

x

x

o

o

20 Minutenzyklus

G. Farbenindustrie Aktiengesellschaft

2, Ludwigshafen a. Rhein,

DIN-Normat R 47 (210 x 292 mm)

60 Minutenzyklus

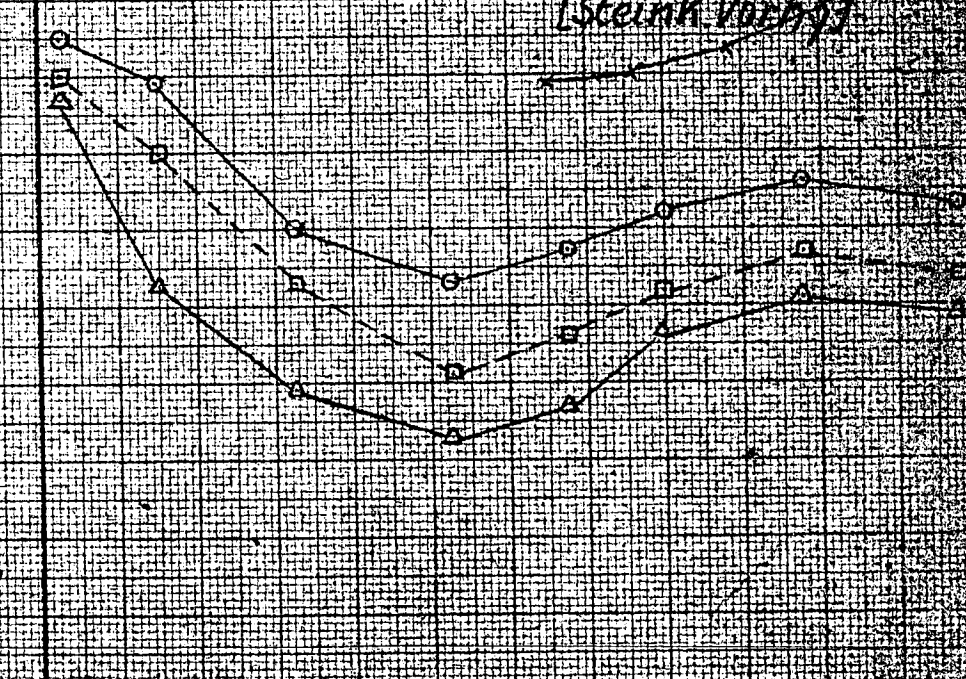
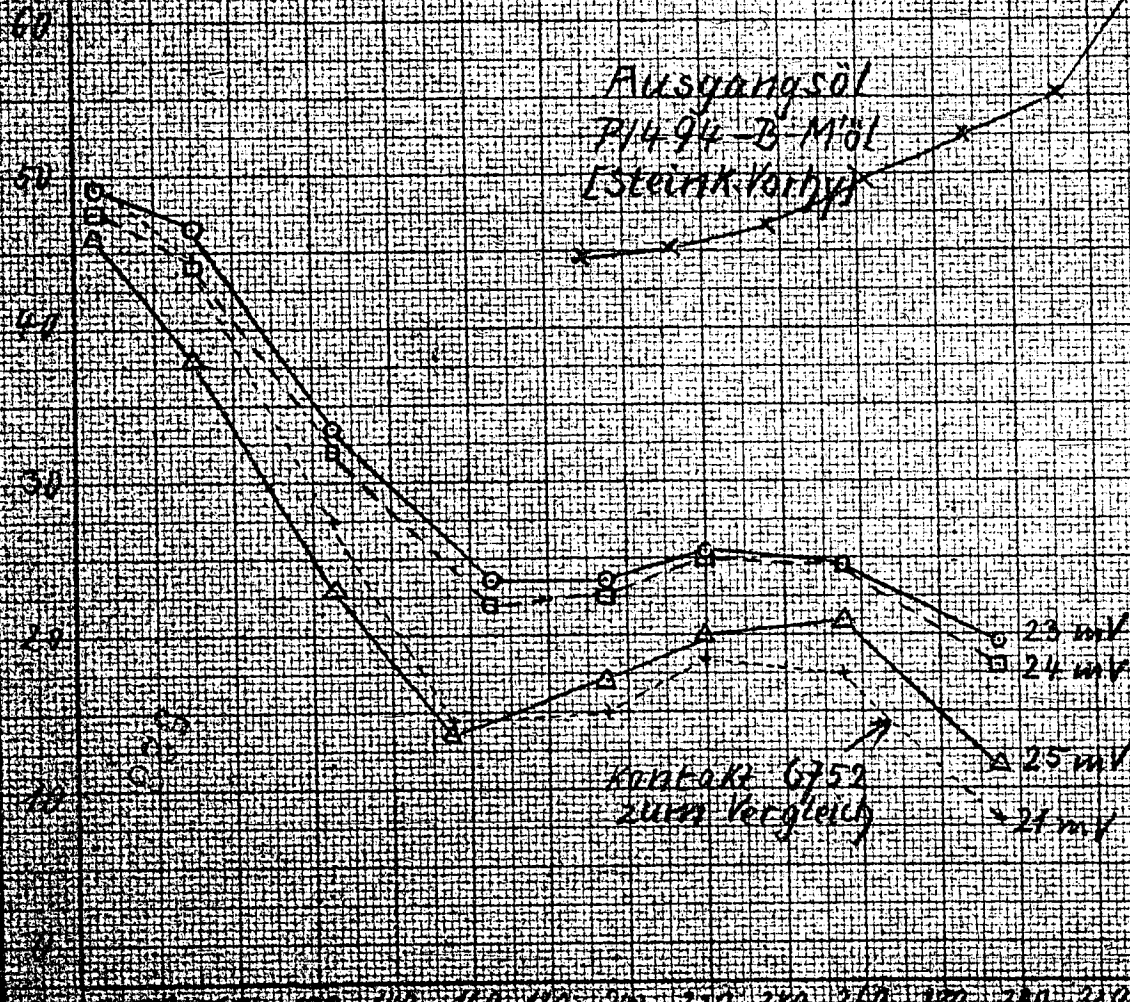
Oktanzahlen / Cetanzahlen

Blatt 3

Fließrichtungsspannungen von
G108-Kreidegestein im Mittelosten

Fl. 1 | 30 Minutenzyklen
Durchmesser 0,5

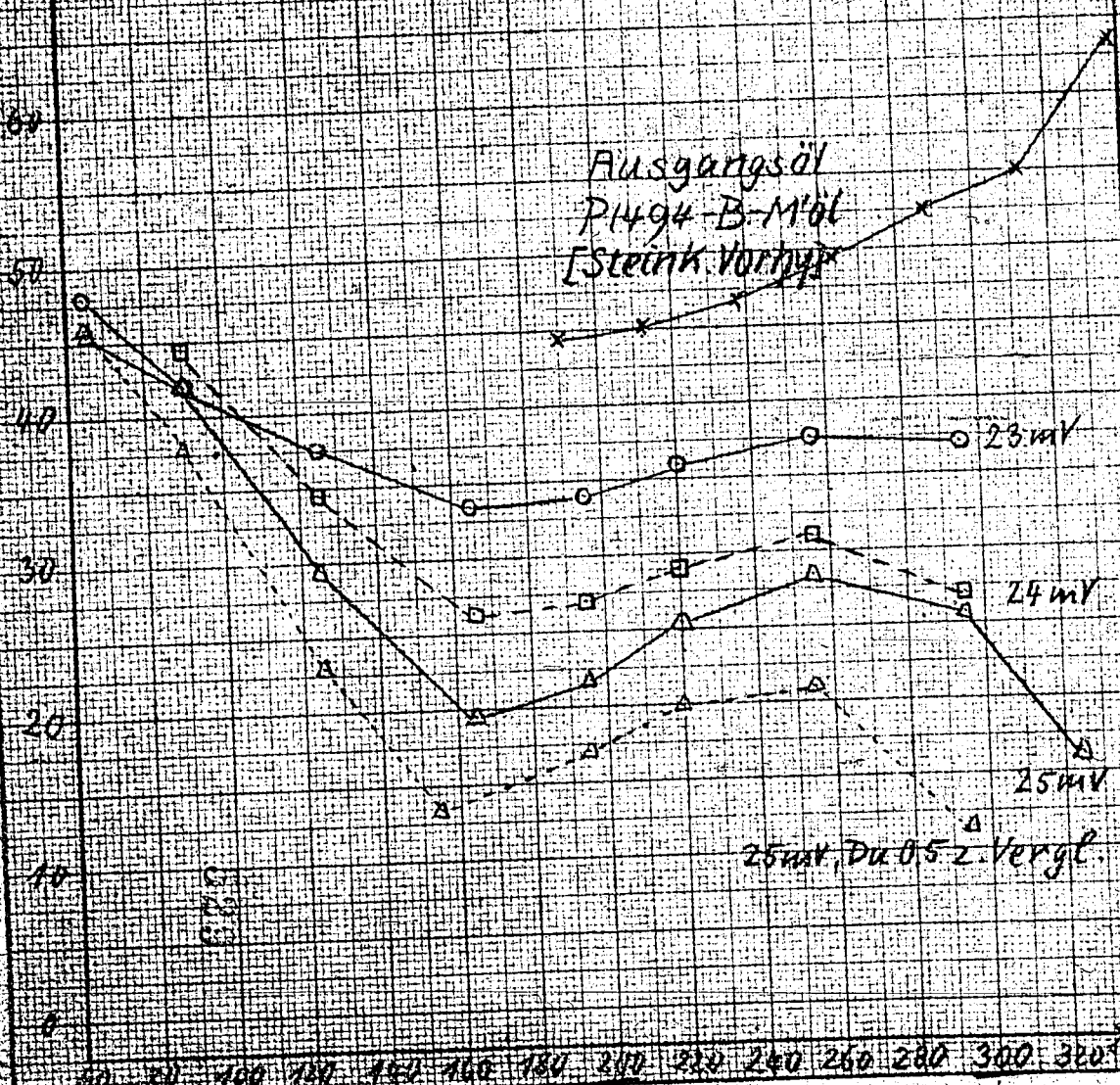
Fl. 2 |
GD-Minutenzyklen
Durchmesser 0,5



AP

Ausgangskurven von
60-Minutenzyklen + Mittelölen

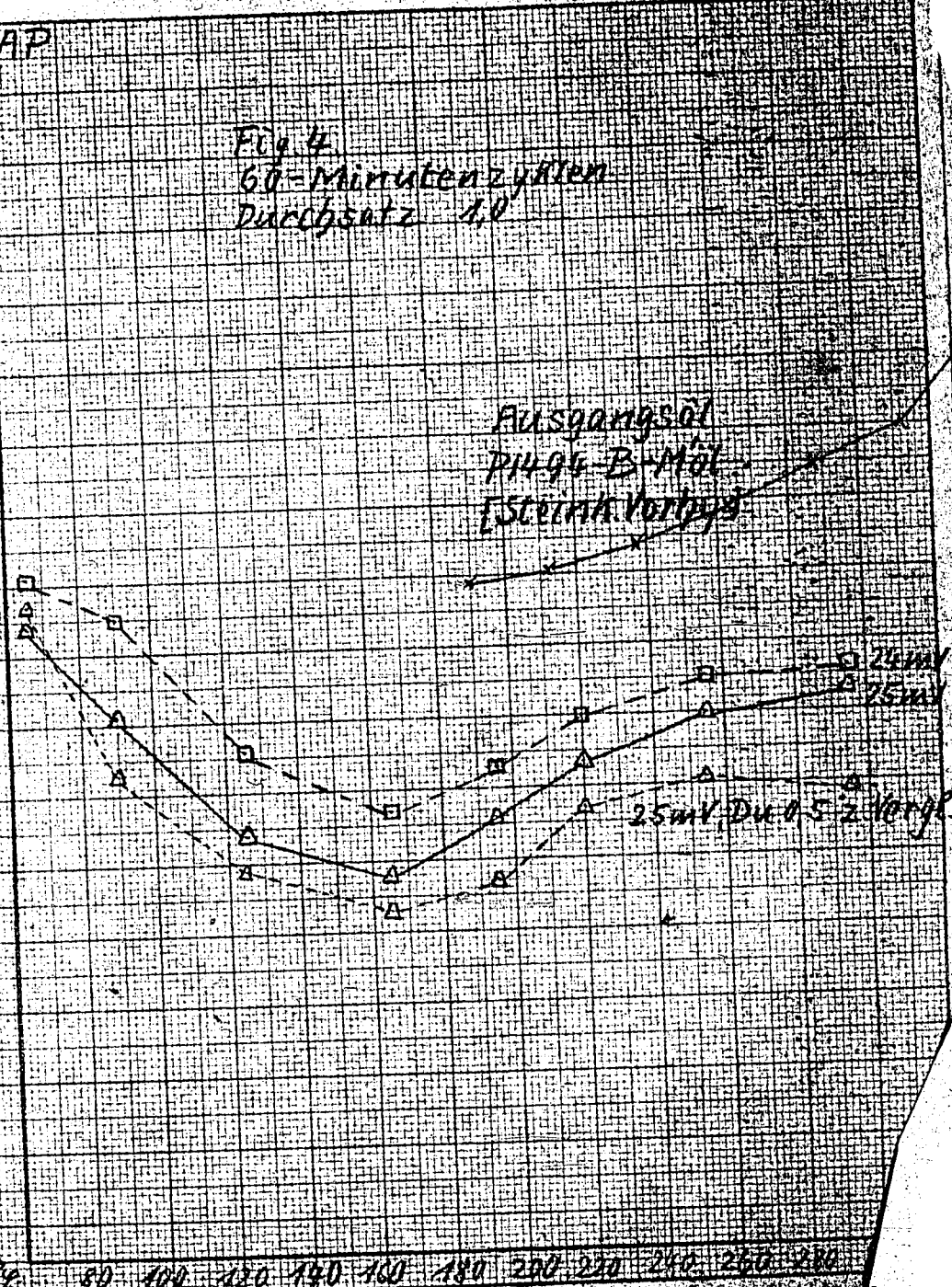
Fig. 3 10-Minutenzyklen
Durchsatz 10



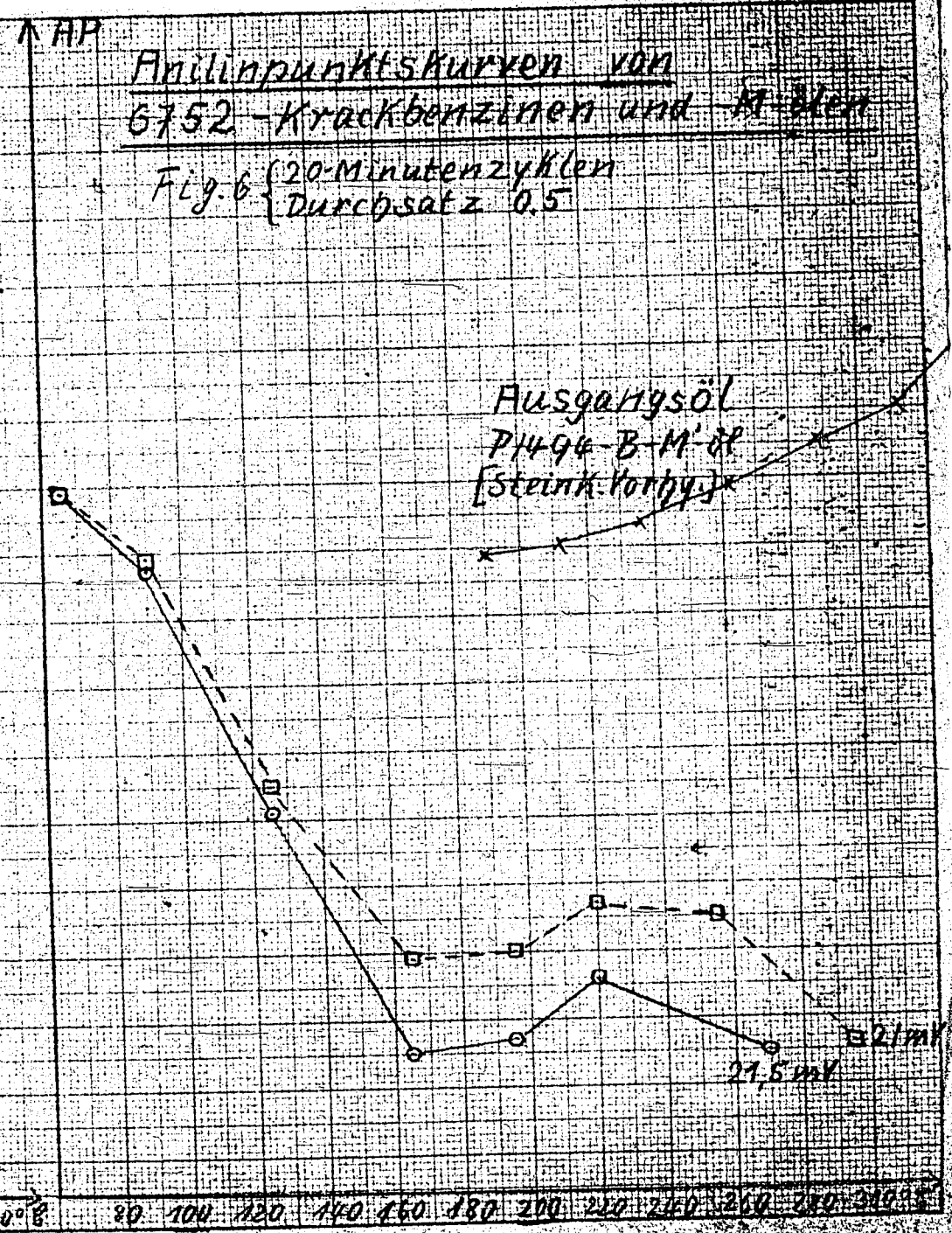
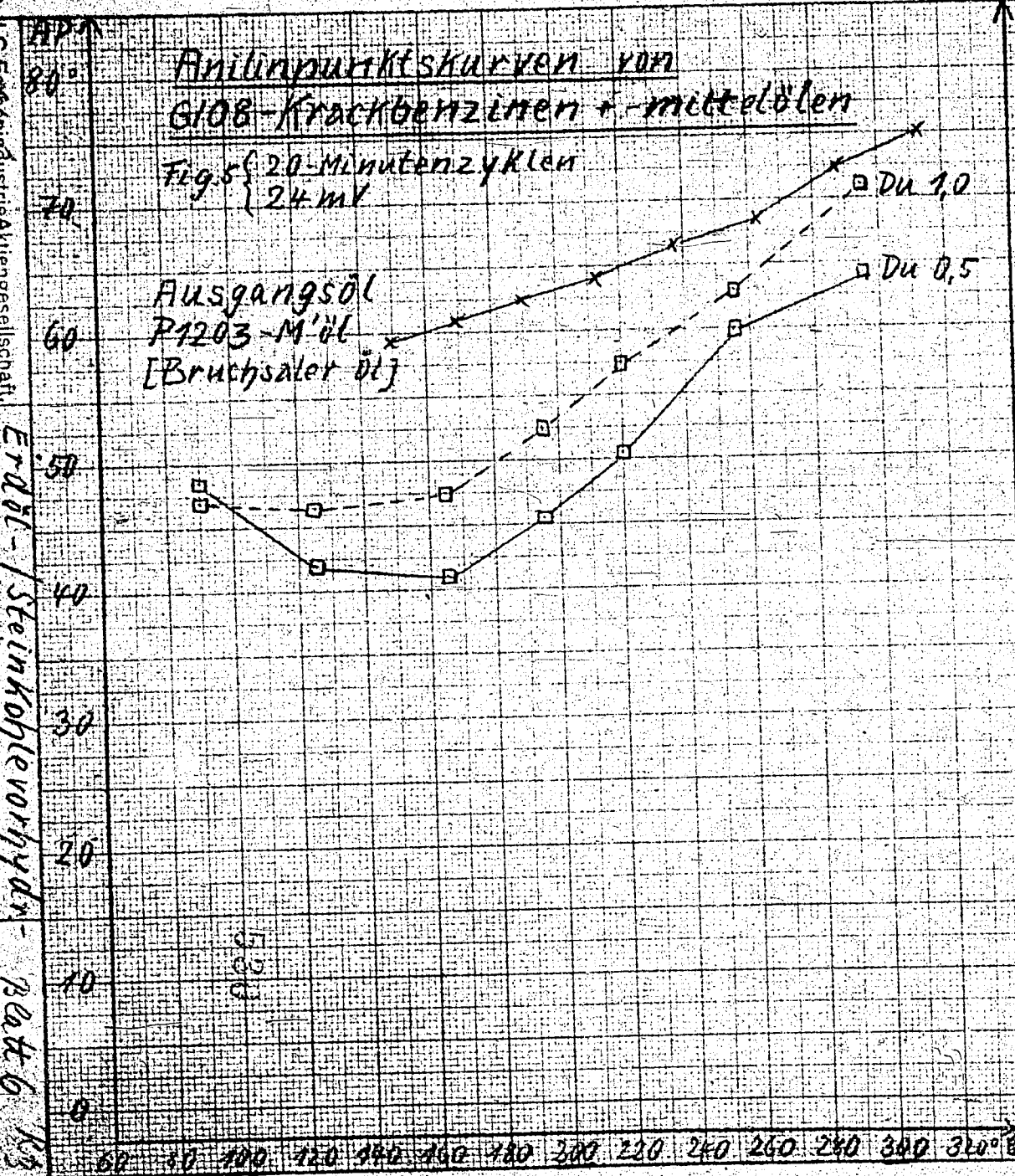
AP

Fig. 4
60-Minutenzyklen
Durchsatz 10

Ausgangsöl
Mühle B-Möl
Steinkohle Vorkörp.



Briickeles



Minimalkontaktzeit vom Motor
S 752 Motoröl mit Ölfilter
Fig. 7 10 Minutenzyklen

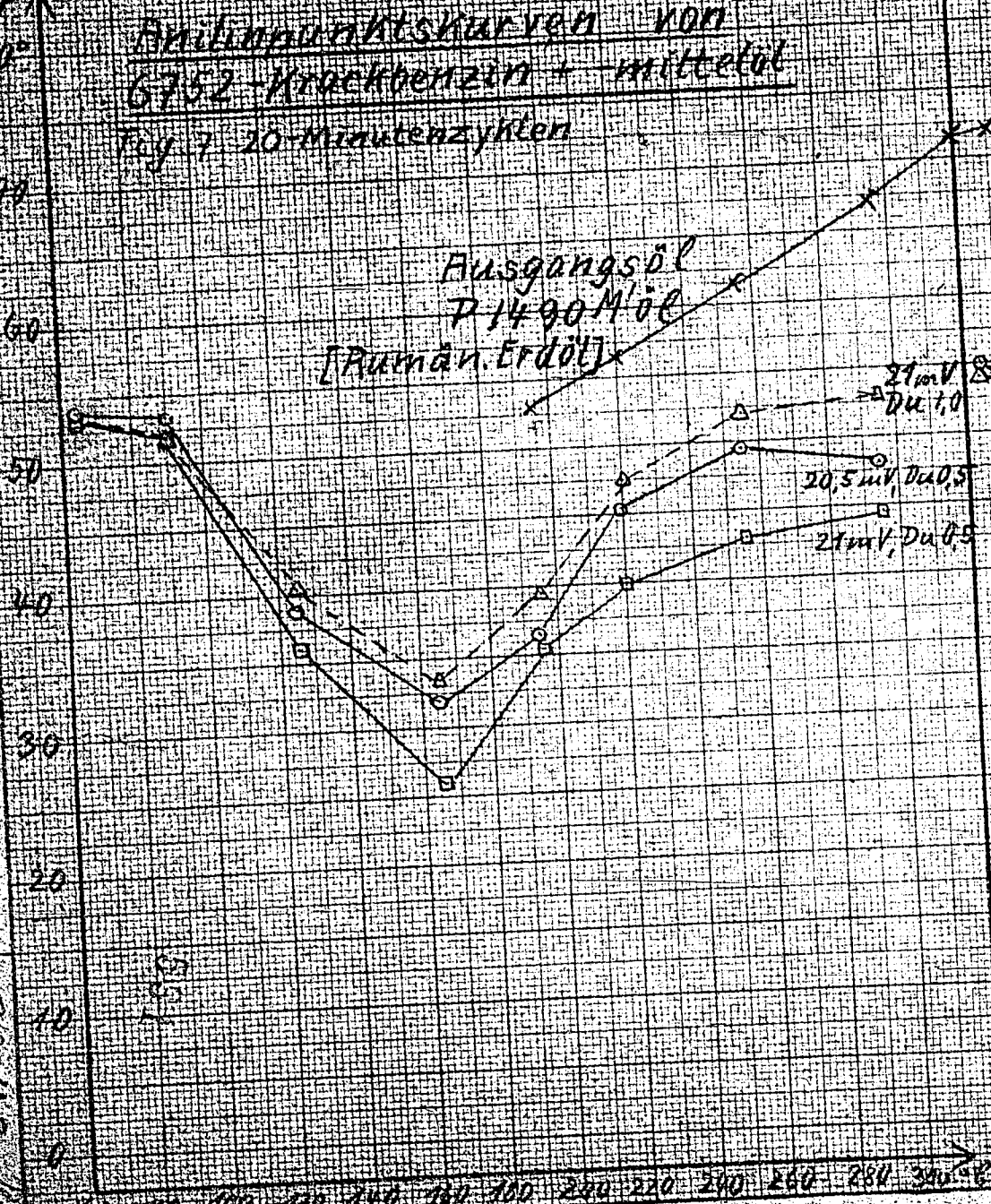
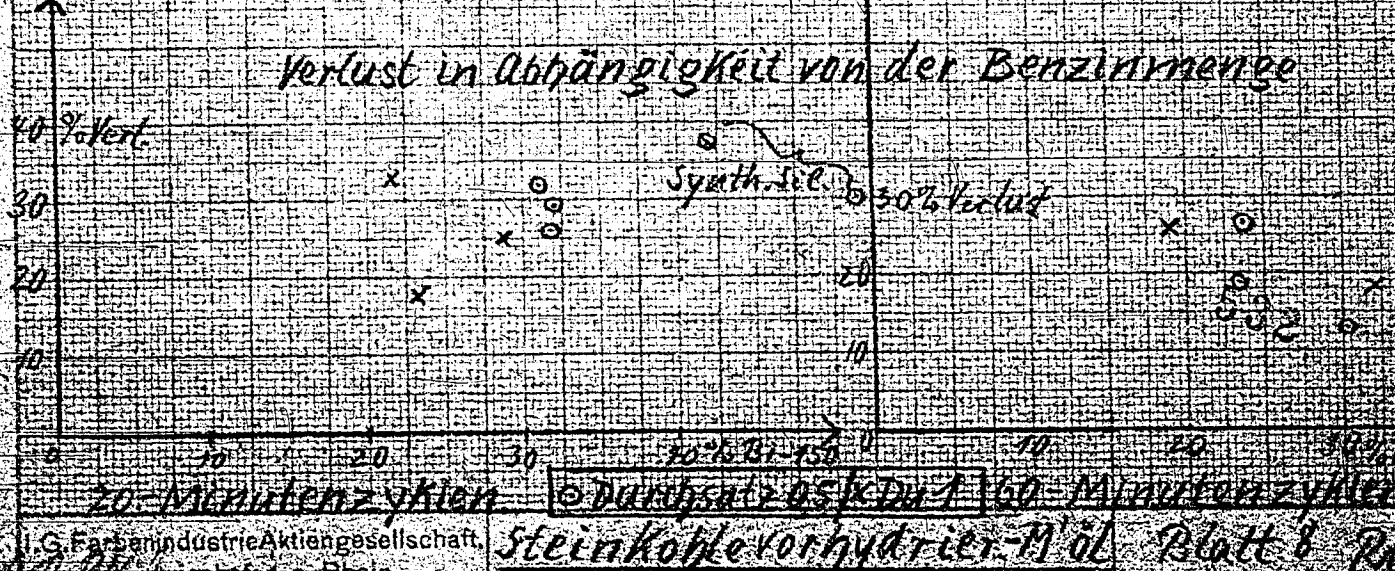
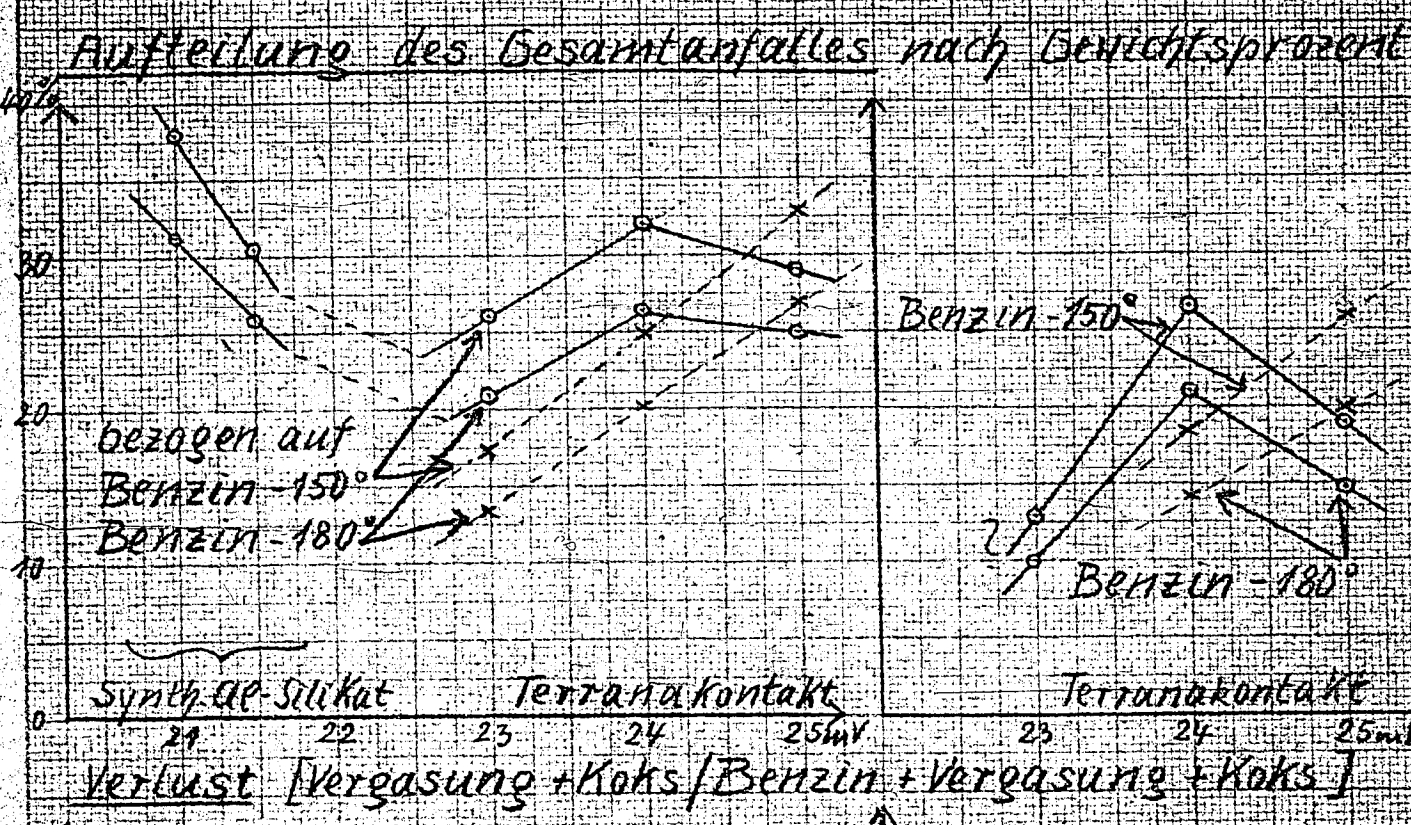
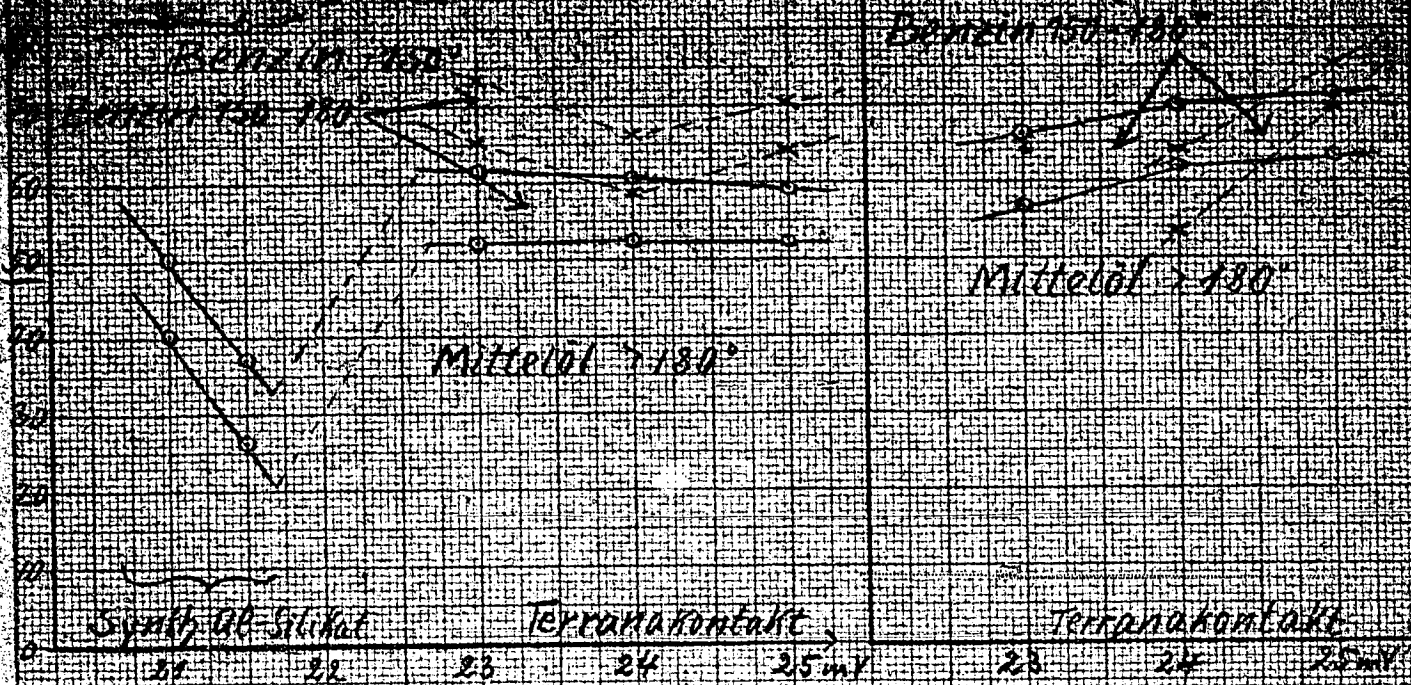


Fig. 8
50 Minutenzyklen
Durchsatz 0,5





100% VERDAMPFT MIT 100°C

50% VERDAMPFT MIT 24°C DIA. 0.5 MM

* 100% VERDAMPFT

* 100% VERDAMPFT

* 100% VERDAMPFT 24°C DIA. 0.5 MM

GUMMI

100%

50%

20%

10%

60

50

40

30

20

10

Benzin

100%
Vol%

90

80

70

60

50

40

30

20

10

Wasserstoff

olefine

Gesättigte Kohlenwasserstoffe

Mittelwert
der prozent. ge-
haltene Kohlenw.

110 100 90 80 70 60 50 40 30 20 10

100

90

80

70

60

50

40

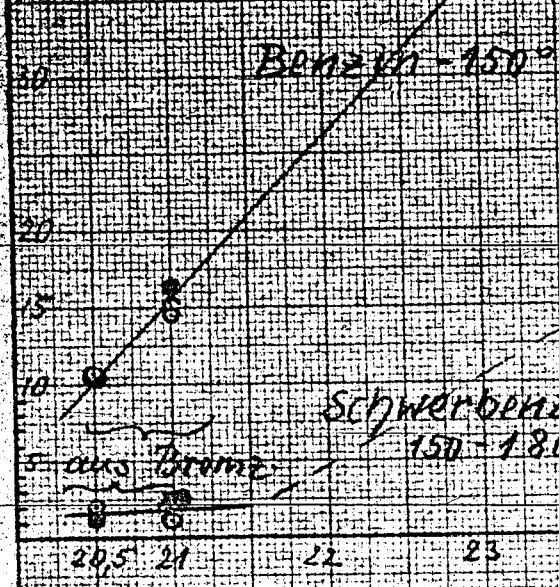
30

20

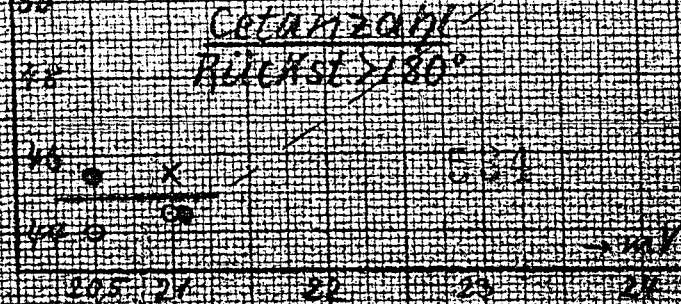
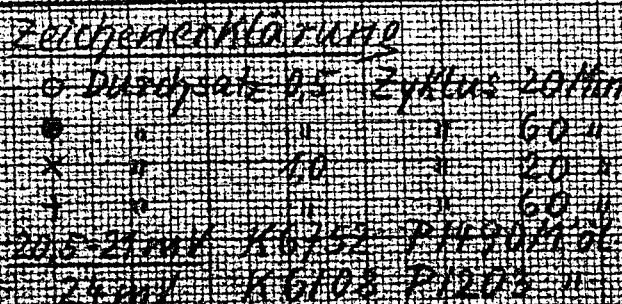
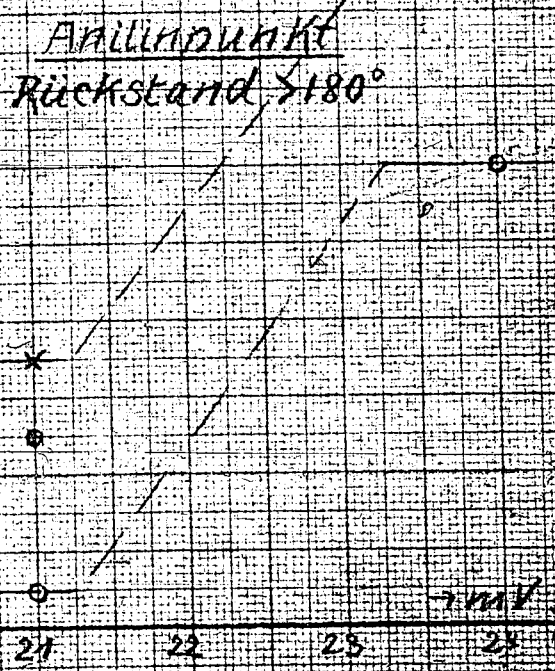
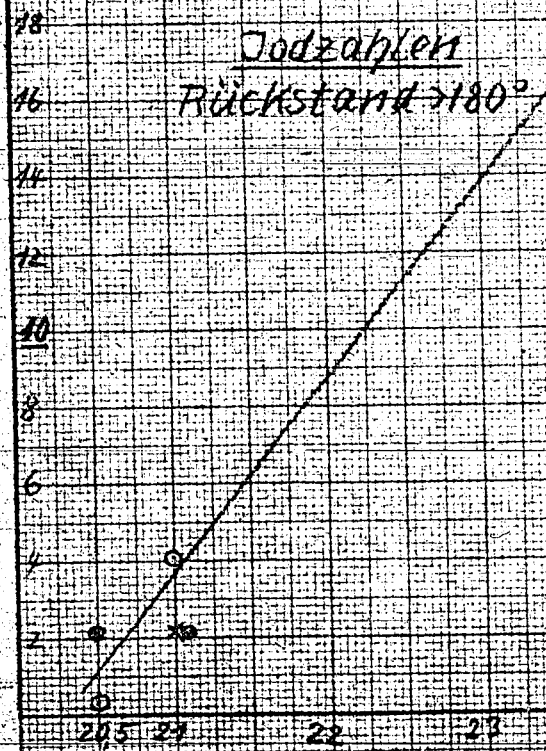
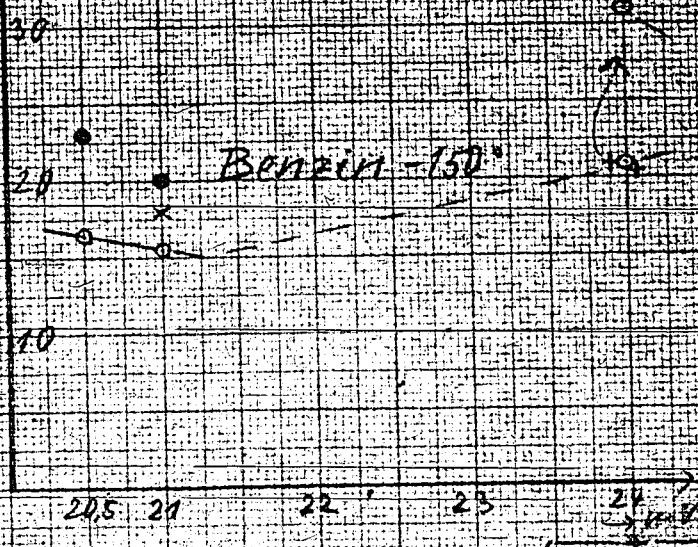
10

Vergasung

Platt 9



SCHWERBENZINN 150 - 180°



90 Motor-Methode
10,12 % P6

80

MOTOR-Methode

70

60

OKTAN-ZAHLEN BENZIN - 150°
(MITSUBISHI MOTOR)
50

40

Gewichts-%

100 Koks

90 GAs C₁ - C₄

80 BenzIn - 150°

70

60 BenzIn 150-180°

50

40 Rückstand > 180°

30

20

10

0

20,5 24 22 23 24

20,5 24 22 23 24

20,5 24 22 23 24

90 Motor-Methode + 0,12 % P6

80

MOTOR-Methode

70

60

OKTAN-ZAHLEN
Schwerbenzin 150-180°

50

40 bezogen auf BENZIN - 150°

30

20 BenzIn - 180°

10

0

Für die Kurve des Gesamttausmales Versuchsanordnung Kohle/Benzin, 10%

12 Proz. Tausmaale Stege Blatt 101